



Московский энергетический институт

Кафедра Вычислительных машин систем и сетей

КУРС ПРОБЛЕМЫ ОРГАНИЗАЦИИ ВЫЧИСЛЕНИЙ

Лекция на тему :

«Высокоточные вычисления»

Москва 2019 г.

Направления по курсу ПОВ

1. *«Высокоточные компьютерные арифметики» (д.т.н., Оцоков Ш.А)*
2. *Машинное обучение (д.т.н., проф. Дзегеленок И.И., д.т.н., Оцоков Ш.А)*
3. *Геометрическое моделирования (к.т.н., Орлов Д.А.)*
4. *Технология виртуальной реальности (к.т.н., Харитонов В.Ю)*

Паблик в соц сети: <http://vk.com/club50059448>

Компьютерная арифметика

Было бы ошибкой считать, что компьютерная арифметика необходима только разработчикам процессоров. Мы рассмотрим дальше примеры, как более эффективно точнее составлять расчётные программы, избегать вычислительных ошибок, свойственных арифметики с плавающей точкой.

Основные вопросы предмета компьютерная арифметика – это:

1. Разработка эффективных цифровых схем.
2. Ускорение арифметических операций и вычисление специальных функций.
3. Разработка алгоритмов быстрого выполнения арифметических операций.
4. Анализ ошибок округления,
5. Аппаратная реализация.
6. Тестирование, верификация программ

Требования к системам счисления

- «возможность представления чисел в заданном диапазоне
- однозначность представления
- простоту записи
- удобство работы человека с машиной
- трудоёмкость выполнения арифметических операций
- экономичность системы (количество элементов, необходимых для представления многоразрядных чисел)
- удобство аппаратной реализации

Экономичная система счисления

Четкое размещение максимума экономичности может быть установлено методом последующих рассуждений. Пусть имеется p символов для записи чисел, а основание системы счисления ρ . Тогда количество разрядов числа $k = p/\rho$, а полное количество чисел (N), которые могут быть составлены, равно:

$$N = p^{\frac{n}{\rho}}. \quad (4.10)$$

Если считать $N(\rho)$ непрерывной функцией, то можно отыскать то значение ρ_* , при котором N воспринимает наибольшее значение. Функция имеет вид, представленный на рис.4.3.

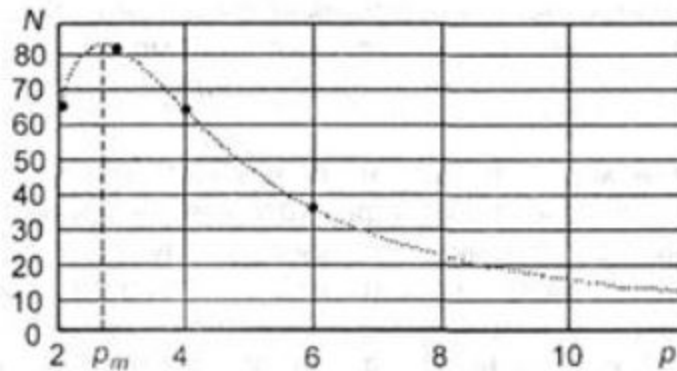


Рис. 4.1. Зависимость количества чисел от основания системы счисления при использовании 12-ти возможных цифр для записи чисел

Каждое целое беззнаковое число представляется вектором длины $k + l$ с k цифрами для целой части и l для дробной части. Так, например, вектор представляет число

$$x_{k-1} x_{k-2} \dots x_1 x_0 x_{-1} x_{-2} \dots x_{-l}.$$

Пример 2. Система счисления с отрицательным основанием $-q$, множество цифр $[0, q - 1]$.

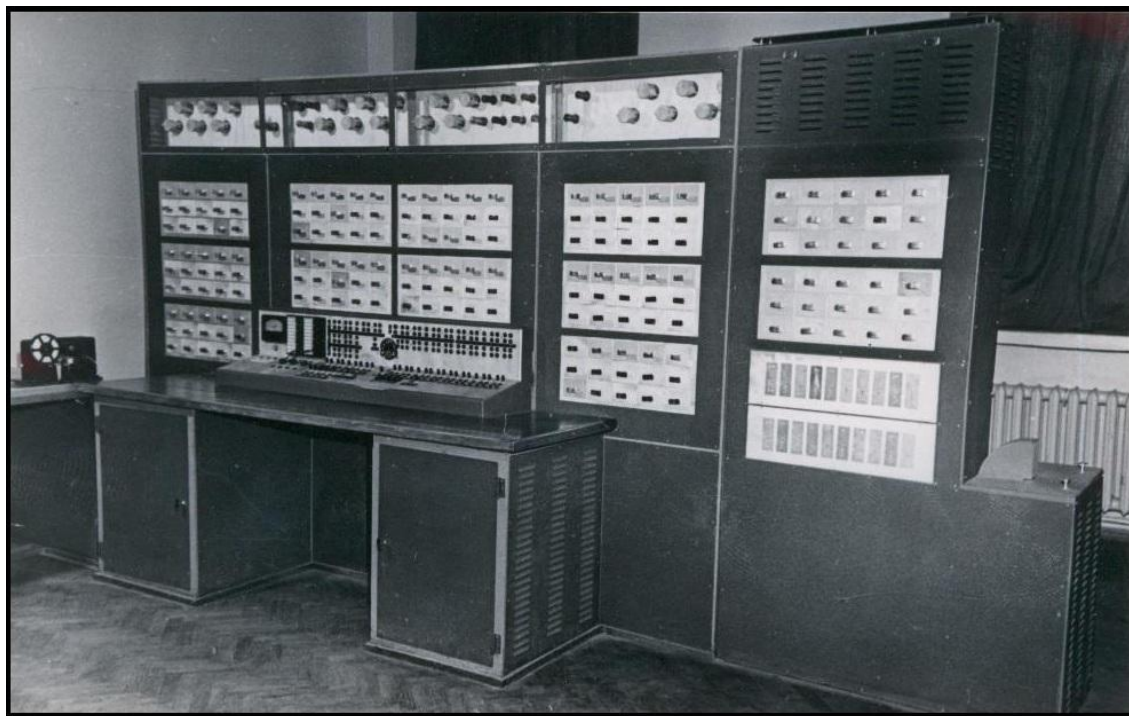
$$\sum_i x_i \cdot (-q)^i = \sum_{i \text{ четн}} x_i \cdot (q)^i - \sum_{i \text{ не четн}} x_i \cdot (q)^i$$

Пример 3. Избыточная знакоразрядная система счисления с множеством цифр $[-\alpha, q - 1 - \alpha]$ с основанием q , например, $[-4, 5]$ для основания $q = 10$, например,

$$(3 \ -1 \ 5)_{10} \text{ представляет десятичное число } 295 = 300 - 10 + 5.$$

Пример 4. Избыточная знакоразрядная система счисления с цифрами $[-\alpha, \beta]$ с $\alpha + \beta \geq q$, например, множество цифр $[-7, 7]$ для $q = 10$. В такой избыточной системе счисления возможны неоднозначные представления чисел, например, число 295:

Сетунь – первый в мире троичный компьютер



2. ФОРМАТ С ПЛАВАЮЩЕЙ ТОЧКОЙ

В формате представления чисел с плавающей точкой имеем:

$$x = (-1)^s \cdot m \cdot q^e,$$

где

$s \in \{0, 1\}$ - знак числа,

m - мантисса, $m \geq 0$,

e - экспонента (целое число).

Число с плавающей запятой имеет четыре компонента: знак s , мантиссу m , основание системы счисления q и показатель e . Вместе эти четыре компонента представляют собой число.

Мантисса числа x имеет n значащих цифр.

Специальный случай, когда $m = 0$ служит для представления нуля.

Пусть значение экспоненты принадлежит диапазону $e_{\min} \leq e < e_{\max}$. Число называется представимым в формате с плавающей точкой, если его можно представить в виде:

$$(-1)^s \cdot m \cdot q^e, \text{ с } e_{\min} \leq e < e_{\max}$$

Пусть рассматривается случай 1, когда мантисса удовлетворяет неравенству $q^{-1} \leq m < 1$, тогда минимальное представимое число равно $q^{e_{\min} - 1}$ и максимальное $q^{e_{\max}} (1 - q^{-n})$.

На рисунке 1 показан пример распределения чисел с плавающей точкой FLP и различные области. В частности, на рисунке 1 представлены такие специальные значения: $-\infty, 0, \infty$ (0 не может быть точно представимо в нормальной форме формата с плавающей точкой) и области переполнения и исчезновения порядка. Переполнение происходит, когда результат меньше $-\max$ или больше \max . С другой стороны, исчезновение порядка встречается для результатов в диапазон $(-\min, 0)$ или $(0, \min)$.

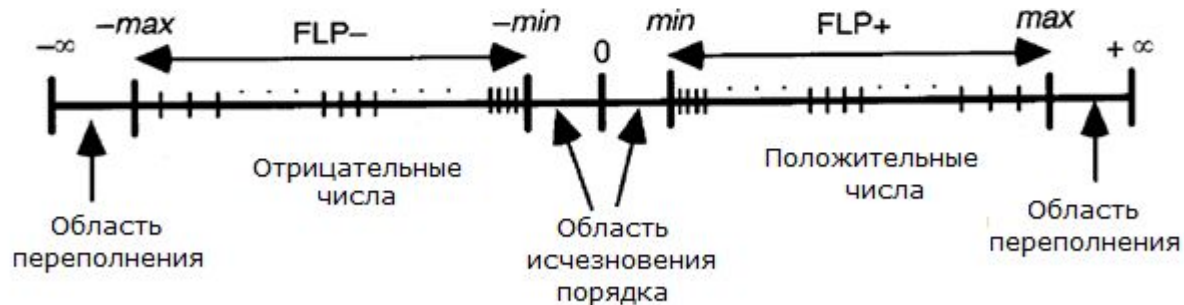


Рисунок 1. Области формата с плавающей точкой

В соответствии с IEEE 754 форматом используется смещённое представление экспоненты, для формата с одинарной точностью если экспонента занимает 8 бит, смещение составляет 127, для двойной точности смещение составляет 1023 [_____]. Это означает, что если \bar{k} смещенное значение экспоненты, тогда несмещенное значение экспонента равно $\bar{k} - 127$,

Практически все цифровые компьютеры имеют отдельные форматы для целых чисел и чисел с плавающей запятой, хотя, в принципе, целые числа могут быть представлены в формате с плавающей запятой. Одна из причин заключается в том, что целочисленная арифметика является более простой и быстрой. Другая причина состоит в том, что с отдельным целочисленным форматом, который не имеет экспоненциальной части, большие числа могут быть представлены точно.

Если требуется представлять целых числа в формате с плавающей запятой, то рекомендуется включить в представление «неточный флаг». Для чисел, которые имеют точные представления в формате с плавающей запятой, «неточный флаг» установите значение 0. Когда результат вычисления с точными операндами слишком мал или слишком велик, чтобы быть представленным точно, «неточный флаг» результата может быть установлен в 1. Обратите внимание, что не все компиляторы имеют встроенную возможность получить доступ к этому флагу процессора.

Основная задача при разработке стандартного формата с плавающей точкой – сделать числовые программы предсказуемыми и полностью переносимыми в смысле получения тех же результатов при работе на разных машинах.

Формат с плавающей точкой одинарной точности имеет длину 32 бита, тогда как для двойной точности требуется 64 бит. Эти два формата имеют 8- и 11-битные поля экспоненты и используют экспоненциальные смещения 127 и 1023 соответственно.

Знак	Смещенная экспонента	Мантисса $m = 1.f$ (1 скрытый бит)
±	<u>$e + bias$</u>	f
32 бит:	8 бит, смещение = 127	23 + 1 бит, одинарная точность
64 бит:	11 бит, смещение = 1023	52 + 1 бит, двойная точность

Рисунок 2. IEEE стандарт формата с плавающей точкой

Мантисса находится в диапазоне $[1, 2]$, с ее единственным целым битом, который всегда равен 1 и удаляется и отображается только дробная часть. Обозначения «23 + 1» или «52 + 1» для длины мантиссы объясняют роли скрытого бита, что вносит свой вклад в точность, не занимая места.

Поскольку 0 не может быть представлен нормированным значением, ему должен быть назначен специальный код. В стандартном формате IEEE ноль имеет представление с положительным или отрицательным знаком. Так как существует две бесконечности ($-\infty$, $+\infty$), естественно иметь два представления нуля ($+0 = 1/+\infty$, $-0 = 1/-\infty$) в соответствии со стандартом IEEE 754. Специальные коды NaN (не-число) также необходимы для представления неопределенных результатов, таких как, например, $0/0$, $(+\infty) - (-\infty)$, корень квадратный из минус единицы и др. Специальные коды позволяют исключать распространение исключений в процессе вычислений и останавливать ход работы программы. Некоторые реализации формата с плавающей точкой отличаются между собой различными видами NaN.

Когда один из операндов есть специальное число, другое число с плавающей точкой, то результат определяется следующими правилами:

$$\text{Обычное число} \div (+\infty) = \pm 0,$$

$$(+\infty) \times \text{Обычное число} = \pm \infty,$$

$$\text{NaN} + \text{Обычное число} = \text{NaN}.$$

Субнормальные или денормализованные числа необходимы в соответствии со стандартом IEEE 754, чтобы сделать эффект исчезновения порядка менее резким. Субнормальные значения определяются как числа без скрытой единицы и с наименьшим возможным показателем. Другими словами, некоторые небольшие значения, которые не представимы в качестве нормализованных чисел, должны быть округлены до 0, если они встречаются в ходе вычислений, могут быть более точно представлены, как денормализованные. Например, $(0,0001)_2 \cdot 2^{-126}$ – это денормализованное число, которое не имеет нормализованного представления в формате одинарной точности IEEE.

Таблица 1. Параметры формата с плавающей точкой

Длина слова, бит	32	64
Длина мантииссы, бит	23 + 1 скрытый	52 + 1 скрытый
Диапазон мантииссы	$[1,2 \cdot 2^{-23}]$	$[1,2 \cdot 2^{-52}]$
Длина экспоненты, бит	8	11
Смещение экспоненты	127	1023
Ноль (± 0)	$\text{Exp} + \text{bias} = 0, f = 0$	$\text{Exp} + \text{bias} = 0, f = 0$
<u>Денормальная</u>	$\text{Exp} + \text{bias} = 0, f \neq 0$ представляется $\pm 0.f \times 2^{-126}$	$\text{Exp} + \text{bias} = 0, f \neq 0$ представляется $\pm 0.f \times 2^{-1022}$
Бесконечность ($\pm \infty$)	$\text{Exp} + \text{bias} = 255, f = 0$	$\text{Exp} + \text{bias} = 2047, f = 0$
Не число (NaN)	$\text{Exp} + \text{bias} = 255, f \neq 0$	$\text{Exp} + \text{bias} = 2047, f \neq 0$
Обычные числа	$\text{Exp} + \text{bias} \in [1, 254]$ $\text{Exp} \in [-126, 127]$ представление $1.f \times 2^e$	$\text{Exp} + \text{bias} \in [1, 2046]$ $\text{Exp} \in [-1022, 1023]$ представление $1.f \times 2^e$
Минимальное число	$2^{-126} \approx 1,2 \cdot 10^{-38}$	$2^{-1022} \approx 2,2 \cdot 10^{-308}$
Максимальное число	$2^{128} \approx 3,4 \cdot 10^{38}$	$2^{1024} \approx 1,8 \cdot 10^{308}$
Число десятичных цифр	7	16

На рисунке 3 представлена графическая интерпретация денормализованных чисел.



Рисунок 3. Графическая интерпретация субнормальных чисел

Пусть $x = 0.11 \cdot 2^{e_{\min}}$, $y = 0.1 \cdot 2^{e_{\min}}$,

Разность

$$x - y = 0.01 \cdot 2^{e_{\min}}$$

нельзя точно представить в формате с плавающей точкой в нормальной форме и будет округляться до нуля. В следующем примере возникнет ошибка деления на ноль.

```
if (y!=x) then
```

```
    z = 1.0 / (y-x);
```

Субнормальные числа позволяют решить эту проблему. Разность становится представимой, следовательно, ошибка деления на ноль больше не возникнет с субнормальными числами.

Особенности формата с плавающей точкой

последствия



Формат с плавающей точкой

Неравномерное распределение чисел с плавающей точкой

Резкая потеря точности при вычислениях с разномасштабными величинами

Нарушение законов алгебры (коммутативности, дистрибутивности и др.)
 $x \neq (x+x)-x$

Значения математических эквивалентных выражений могут быть не равными друг другу (вычислительные аномалии)

...

...

...

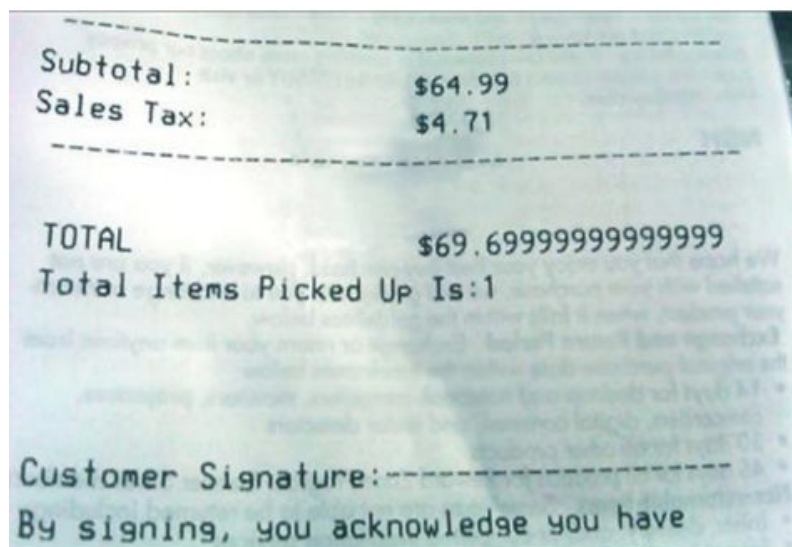
Нарушение законов алгебры

- No associative property for floats
- $(a + b) + (c + d)$ (parallel) $\neq ((a + b) + c) + d$ (serial)
- Looks like a “wrong answer”

Недостатки формата с плавающей точкой

1. Числа с плавающей точки дают различные результаты на различных аппаратных платформах.
2. Сложность использования численных методов (требуется экспертные знания в области Error Analyze)
3. Резкий рост времени вычислений при увеличении точности
4. В формате с плавающей точкой скрыты ошибки переполнения, исчезновения порядка (на флаги процессора никто не смотрит)

Пример ошибки при сложении чисел в формате с плавающей точкой:



Пример нарушения алгебраического свойства ассоциативности

$$(a \oplus b) \oplus c \neq a \oplus (b \oplus c) \quad \oplus - \text{ сложение чисел с плавающей точкой}$$

Любое число с плавающей точкой в нормальной форме можно представить в следующем виде:

$$a \cdot q^b,$$

где

q – основание системы счисления,

b – порядок числа,

a – мантисса числа и $q^{-1} \leq |a| < 1$.

$$q = 2,$$

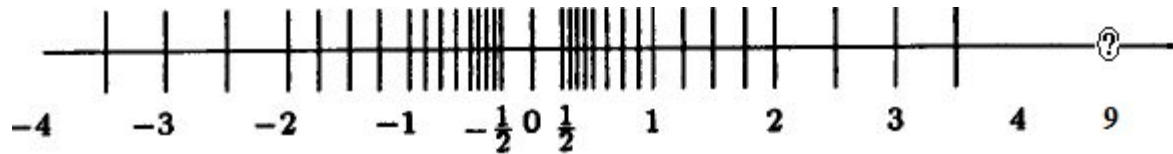
Мантисса числа с плав. точкой	Порядок числа			
	$b = 0$	$b = 1$	$b = 2$	$b = 3$
100	1/2	1	2	4
101	5/8	5/4	5/2	5
110	3/4	3/2	3	6
111	7/8	7/4	7/2	7

$$\left(\frac{1}{2} \oplus \frac{1}{2}\right) \oplus 6 \neq \frac{1}{2} \oplus \left(6 \oplus \frac{1}{2}\right)$$

$$7 \neq 6$$

Неравномерное распределение чисел с плавающей точкой

(Длина мантииссы $k=3$,
порядок от 0 до 4.)



Пример.

$$\vec{x} = (10^{17}, 1223, 10^{18}, 10^{15}, 3, -10^{12})$$

$$\vec{y} = (10^{20}, 2, -10^{19}, 10^{13}, 2111, 10^{16})$$

Истинный результат $(\vec{x}, \vec{y}) = 8779$

Вычисленный в формате с плав. точкой один. точн.

равен $4.6E+0020$.

ПРИМЕР ЗАДАЧИ, ИМЕЮЩЕЙ РЕЗКИЙ РОСТ ОШИБОК ОКРУГЛЕНИЯ

Матрица Гильберта $A = \{a_{ij}\}$, $a_{ij} = \frac{1}{i+j-1}$

Обращение матрицы Гильберта порядка 3

С точностью 2 знака после
запятой

$$A = \begin{bmatrix} 1 & 1/2 & 1/3 \\ 1/2 & 1/3 & 1/4 \\ 1/3 & 1/4 & 1/5 \end{bmatrix}$$

$$A_{\text{прибл}}^{-1} = \begin{bmatrix} -1,17 & 19,51 & -23 \\ 19,51 & -112,94 & 112 \\ -23 & 112 & -100 \end{bmatrix}$$

Макс. относ. погрешн. более 100%.

С точностью 3 знака после
запятой

$$A_{\text{прибл}}^{-1} = \begin{bmatrix} 10,101 & 29,598 & 64,798 \\ -41,039 & -192,78 & -202,4 \\ 34,6 & 202,4 & 200 \end{bmatrix}$$

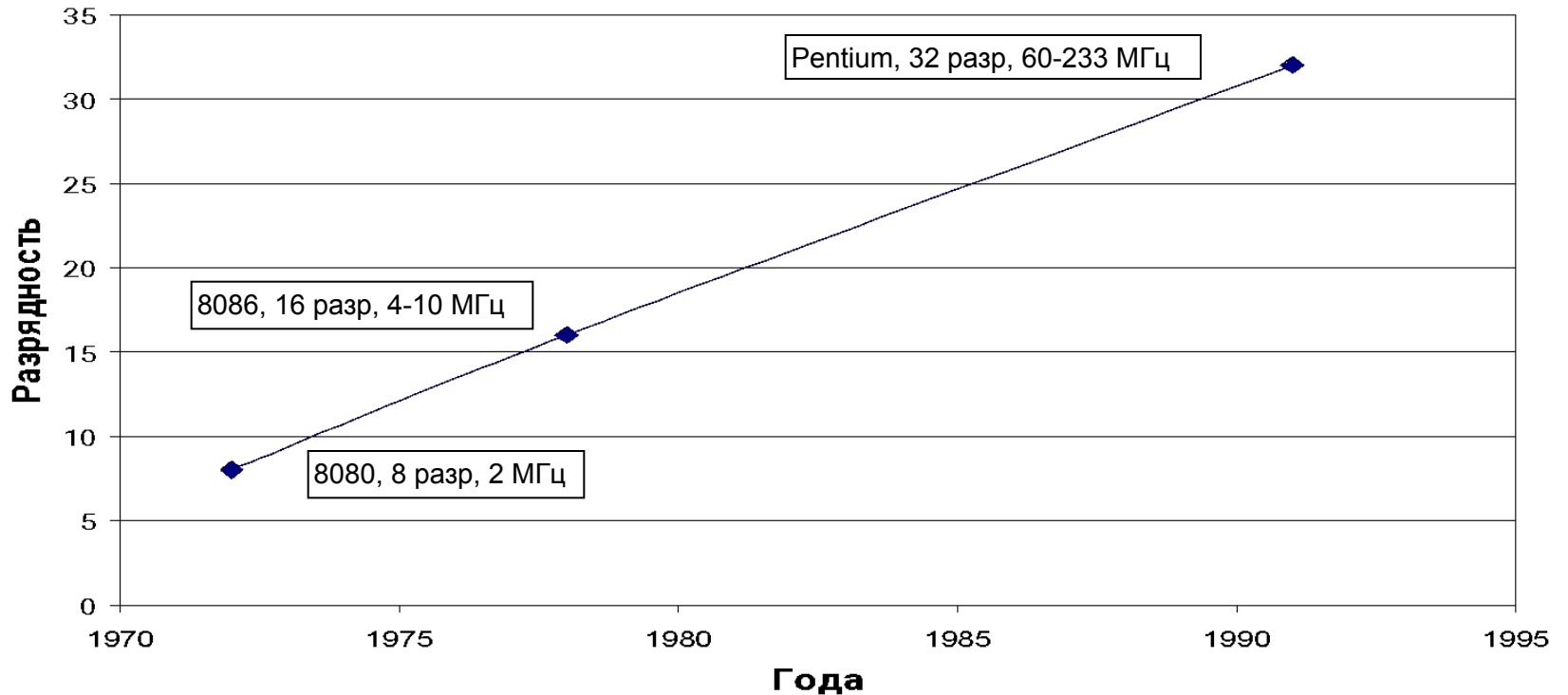
Макс. относ. погрешность более 100%.

Точный результат:

$$A_{\text{точн}}^{-1} = \begin{bmatrix} 9 & -36 & 30 \\ -36 & 192 & -180 \\ 30 & -180 & 180 \end{bmatrix}$$



Рост разрядности и тактовой частоты процессоров по годам



Гипотеза: Технологические трудности создания процессоров высокой разрядности

Интервальная арифметика

Мы будем рассматривать всевозможные конечные вещественные интервалы $[a, b]$ ($a \leq b$). Операции над ними определяются следующим образом:

- Сложение: $[a, b] + [c, d] = [a + c, b + d]$
- Вычитание: $[a, b] - [c, d] = [a - d, b - c]$
- Умножение: $[a, b] \times [c, d] = [\min(ac, ad, bc, bd), \max(ac, ad, bc, bd)]$
- Деление: $[a, b] / [c, d] = [\min(a/c, a/d, b/c, b/d), \max(a/c, a/d, b/c, b/d)]$

Получаем ответ в виде интервала, например: $[10.8, 10.9]$.

Истинный результат содержится в этом интервале.

Недостаток подхода: расширение интервалов в процессе вычислений.

Например: $[-100, 100]$.

Pascal XSC

Традиционный подход повышения точности вычислений

Применение библиотек высокоточных вычислений,
таких как: ZREAL(Россия), MPARITH(Германия), GMP(США)
и др. $2 \leq n_{mant} = \text{var}$

Основная проблема

Резкое увеличение времени выполнения арифметических операций от точности. Это приводит к резкому росту времени решения задач большой размерности.

Подход к решению проблемы высокоточных вычислений на основе модулярной арифметики

К настоящему времени модулярная арифметика использовалась как средство повышения быстродействия в криптографии, нейронных сетях, цифровой обработке сигналов и др.

Проведенные исследования показали качественно новые возможности применения модулярной арифметики в повышении точности вычислений и ослаблении зависимости времени вычислений от точности, для некоторых частных задач:

- решение дифференциальных уравнений методами Рунге-Кутты,
- нахождение скалярного произведения векторов,
- решения систем линейных уравнений методами Гаусса-Зейделя,
- релаксации,
- дискретном преобразовании Фурье .

ПРИНЦИПЫ РЕАЛИЗАЦИИ МОДУЛЯРНЫХ ВЫЧИСЛЕНИЙ

Пусть m – некоторое простое число, называемое *модулем*, тогда по теореме о делении с остатком любое целое число a можно представить в виде:

$$a = m \cdot q + r,$$

где q – частное, r – остаток от деления a на m .

Если два целых числа при делении на m дают один и тот же остаток, то они называются *равноостаточными* или *сравнимыми по модулю m* . Например, числа 13 и 8 сравнимы по модулю 5, т.к. $13 = 2 \cdot 5 + 3$ и $8 = 1 \cdot 5 + 3$, или числа 10 и 3 сравнимы по модулю 7, т.к. $10 = 1 \cdot 7 + 3$ и $3 = 0 \cdot 7 + 3$.

Математическое свойство сравнимости по модулю m двух чисел a и b записывается так:

$$a \equiv b \pmod{m} \text{ или } |a|_m \equiv |b|_m \quad (1)$$

Пример. $13 \equiv 8 \pmod{5}$, $10 \equiv 3 \pmod{7}$.

ПРИНЦИПЫ РЕАЛИЗАЦИИ МОДУЛЯРНЫХ ВЫЧИСЛЕНИЙ

Свойства сравнений.

1°. *Рефлексивность.*

Если $a = b$, то $a \equiv b \pmod{m}$. А если $a < m$ и $b < m$, то из $a \equiv b \pmod{m}$ следует, что $a = b$.

2°. Если $a \equiv r \pmod{m}$, то и $a \pm k \cdot m \equiv r \pmod{m}$.

Доказательство:

$$a = q_1 \cdot m + r, \quad r_1 < m$$

$$a \pm k \cdot m = (q_1 + k) \cdot m + r$$

3°. *Сравнения можно почленно складывать*

Из $a_1 \equiv r_1 \pmod{m}$ и $a_2 \equiv r_2 \pmod{m}$ следует, что $a_1 + a_2 \equiv r_1 + r_2 \pmod{m}$.

Доказательство:

$$a_1 = q_1 \cdot m + r_1, \quad r_1 < m$$

$$a_2 = q_2 \cdot m + r_2, \quad r_2 < m$$

$$a_1 + a_2 = (q_1 + q_2) \cdot m + r_1 + r_2$$

Если $r_1 + r_2 < m$, то $a_1 + a_2 = (q_1 + q_2) \cdot m + r_1 + r_2$, откуда следует, что

$$a_1 + a_2 \equiv r_1 + r_2 \pmod{m},$$

Если $r_1 + r_2 \geq m$, то $a_1 + a_2 = (q_1 + q_2 + 1) \cdot m + (r_1 + r_2 - m)$

$$a_1 + a_2 \equiv (r_1 + r_2 - m) \pmod{m} \equiv (r_1 + r_2) \pmod{m}$$

ПРИНЦИПЫ РЕАЛИЗАЦИИ МОДУЛЯРНЫХ ВЫЧИСЛЕНИЙ

4°. *Сравнения можно почленно перемножать, т.е.*

Из $a_1 \equiv b_1 \pmod{m}$ и $a_2 \equiv b_2 \pmod{m}$ следует, что $a_1 \cdot a_2 \equiv b_1 \cdot b_2 \pmod{m}$.

Из свойства 3° следует, что сравнения можно почленно возводить в степень, т.е.

Из $a \equiv b \pmod{m}$, следует, что $a^n \equiv b^n \pmod{m}$, где n – целое число.

Для представления *отрицательных чисел* используется формула:

$$-a \equiv m - a \pmod{m},$$

Например,

$$-5 \equiv 8 \pmod{13},$$

$$-15 \equiv -2 \pmod{13} \equiv 13 - 2 \pmod{13} \equiv 11 \pmod{13},$$

т.к. $-15 = (-1) \cdot 13 - 2$

Рассмотрим *деление сравнений*.

$$\frac{a}{b} \pmod{m} \equiv a \cdot (b)^{-1} \pmod{m},$$

где b^{-1} – число, *обратное* к b по модулю m , т.е. число x удовлетворяющее сравнению $x \cdot b \pmod{m} \equiv 1$.

Модулярная арифметика с дробями

Обратное число к a это такое число x , для которого выполняется соотношение:

$$a \cdot x \equiv 1 \pmod{m}.$$

Пусть модуль $m = 7$, $a = 2$

$$2 \cdot x \equiv 1 \pmod{7}$$

$$x = 4, \quad 2 \cdot 4 \equiv 1 \pmod{7}$$

Т.е. $\frac{1}{2} \pmod{7} \equiv 4,$

Таблица соответствия по модулю $m = 7$.

<i>Дробь</i>	<i>Модулярное представление</i>
1/2	4
1/3	5
1/6	6
4/6, 1/6, 6 ... ? (нет единственности)	6

Вычисления с дробями Фарей в модулярной арифметике

Дроби Фарей – это несократимые дроби, числители и знаменатели которых по абсолютной величине меньше чем некоторая константа, называемая порядком дробей Фарей, т.е.

$$F_N = \left(\frac{a}{b} \in \mathcal{Q} \mid |a| \leq N, |b| \leq N \right),$$

где F_N – множество дробей Фарей,

\mathcal{Q} – множество рациональных чисел,

N – порядок дробей Фарей.

Например, дроби Фарей третьего порядка:

$$\frac{0}{1}, 1, 2, 3, -1, -2, -3, \frac{1}{2}, \frac{1}{3}, \frac{2}{3}, \frac{3}{2}, -\frac{1}{2}, -\frac{1}{3}, -\frac{2}{3}, -\frac{3}{2}.$$

Справедлива теорема о том, что если

$$2 \cdot N^2 + 1 \leq m,$$

где m – модуль, то каждая дробь Фарей порядка N имеет единственное модулярное представление.

Пример 1 задачи, чувствительной к изменению шага интегрирования

Задача Коши

$$x'(t)=t, x_0=0, t_0=0$$

Точное решение:

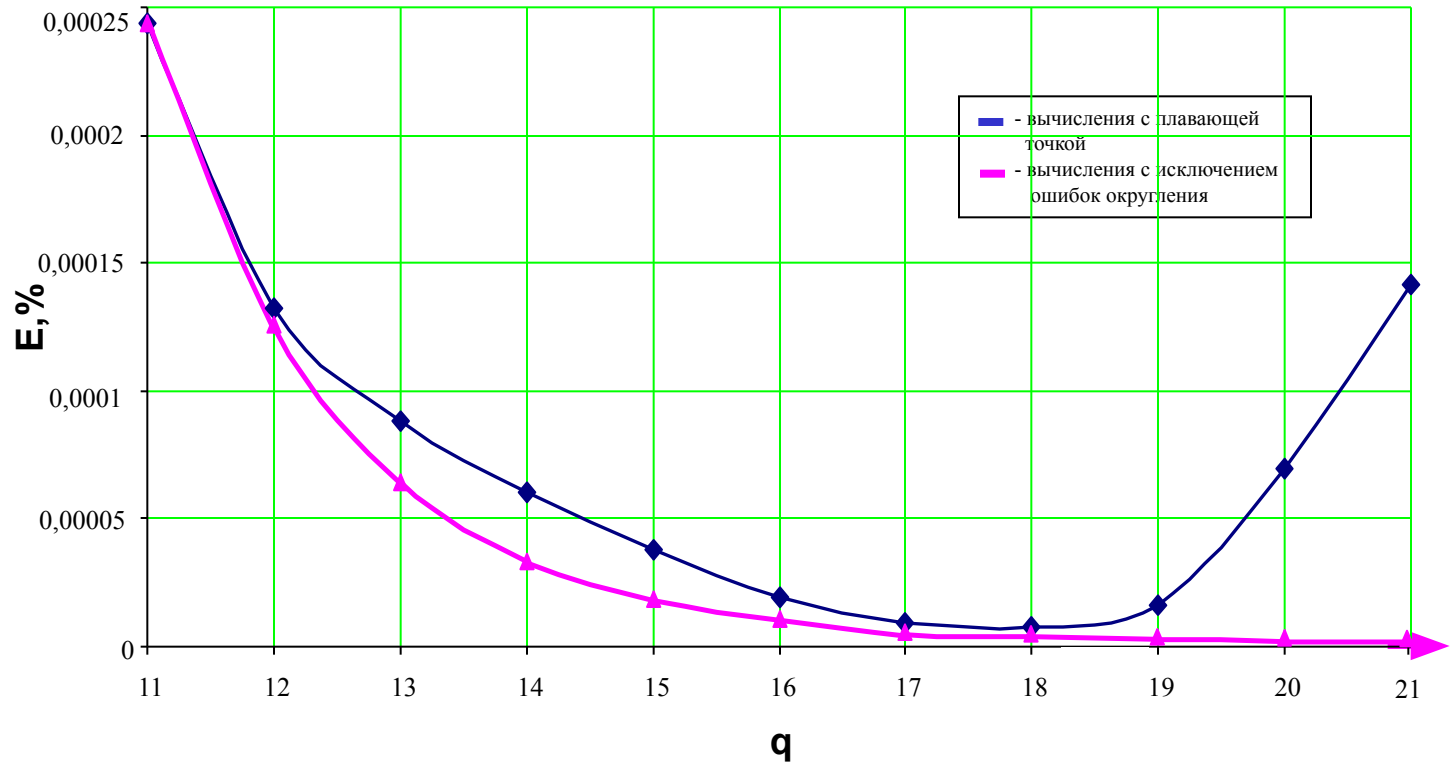
$$x(t) = \frac{t^2}{2}$$

Шаг интегрирования:

$$h = 1 / 2^q, q > 1$$

E –
относительная
погрешность
решения

Результат решения методом Эйлера



Пример 2 задачи, чувствительной к изменению шага интегрирования

Простейшее дифференциальное уравнение

$$y''(x) = -f(x) \quad f(0) = 0, \quad f(1) = 0, \quad 0 \leq x \leq 1$$

$$h = \frac{1}{n}, \quad x = h, \dots, x = nh$$

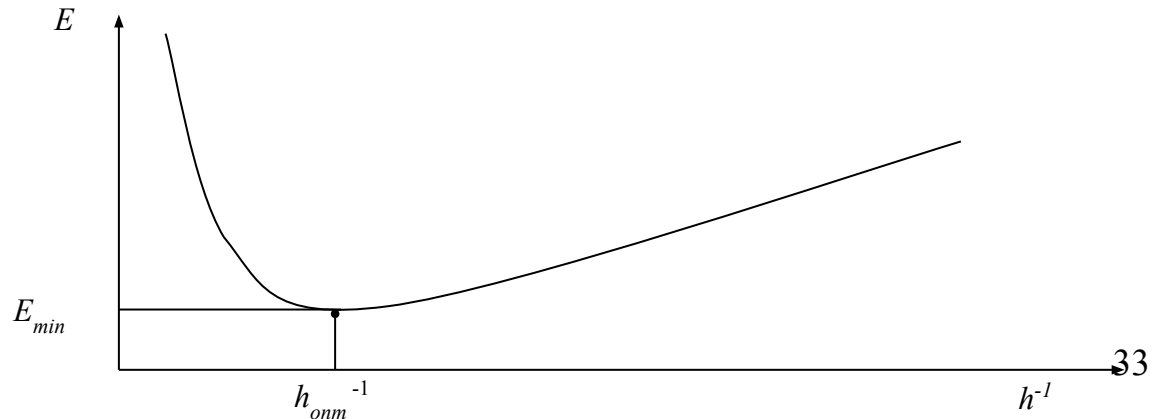
$$\frac{d^2 y}{dx^2} \approx \frac{y(x+h) - 2y(x) + y(x-h)}{h^2}$$

$$-y_{j+1} + 2y_j - y_{j-1} = h^2 f(jh),$$

$$\begin{bmatrix} 2 & -1 & 0 & 0 & \dots & 0 \\ -1 & 2 & -1 & 0 & \dots & 0 \\ 0 & -1 & 2 & -1 & \dots & 0 \\ \cdot & \cdot & \cdot & \cdot & \cdot & \cdot \\ 0 & \dots & 0 & -1 & 2 & -1 \\ 0 & \dots & 0 & 0 & -1 & 2 \end{bmatrix} \begin{bmatrix} y_1 \\ y_2 \\ y_3 \\ \cdot \\ y_n \end{bmatrix} = h^2 \begin{bmatrix} f(h) \\ f(2h) \\ f(3h) \\ \dots \\ f((n-1)h) \\ f(nh) \end{bmatrix}$$

Число обусловленности:

$$k(n) \approx \frac{4(n+1)^2}{\pi^2}$$



ПРИМЕНЕНИЕ ВЫЧИСЛЕНИЙ С ИСКЛЮЧЕНИЕМ ОШИБОК ОКРУГЛЕНИЯ В ВЫЧИСЛИТЕЛЬНО НЕУСТОЙЧИВЫХ АЛГОРИТМАХ

Рассмотрим задачу вычисления функции e^x . Известно, что эта задача хорошо обусловлена.

$$v_\delta \approx |x|$$

Обусловленность вычислительного алгоритма при $x < 0$

$$e^x = \sum_{k=0}^{\infty} \frac{x^k}{k!} = 1 + x + \frac{x^2}{2!} + \frac{x^3}{3!} + \dots + \frac{x^n}{n!} + \dots \quad v_\delta = e^{2 \cdot |x|} \quad \text{при } x < 0$$

Пример.

Найти значение функции e^x при $x = -15$.

Верное значение $e^{-15} = 1 / e^{15} \approx 0.000000305902$

1. Традиционные вычисления

После выполнения 82 итераций было получено: $e^{-15} \approx 0.000000256502$

Относительная погрешность

составила 19,2%.

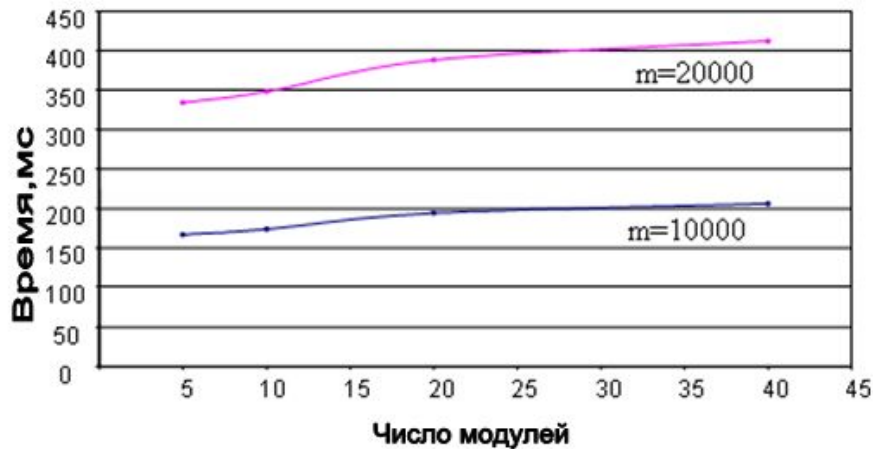
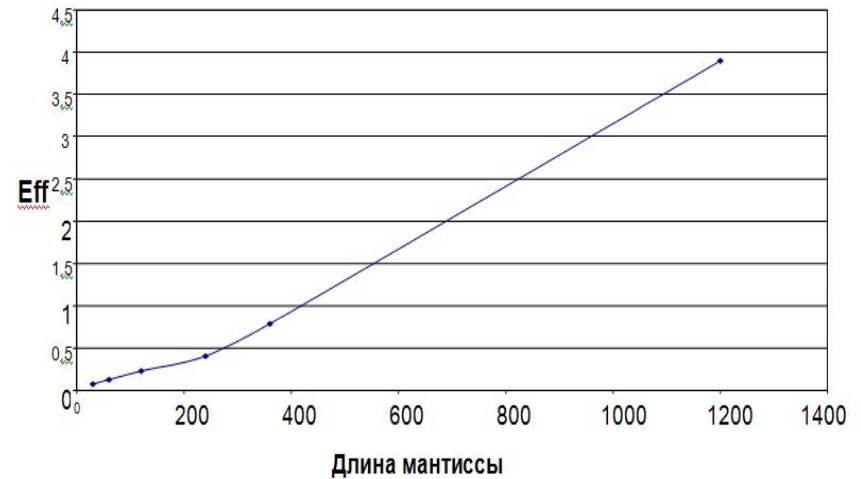
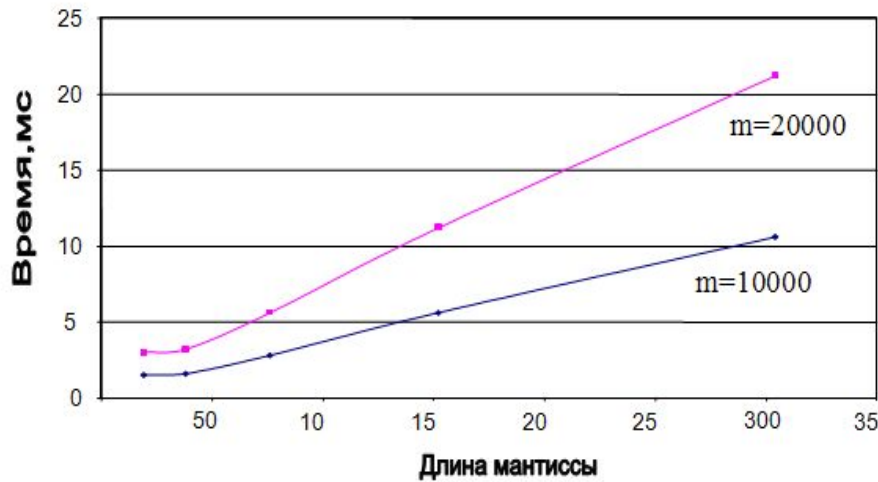
2. Вычисления с исключ. ошибок окр.

После выполнения 60 итераций было получено:

$$e^{-15} \approx \frac{1822987410130384149007132206840681602541990778449289}{59593604795584246682595675324534356863378751133750157901824}$$

или $e^{-15} \approx 0.000000305903159$. Отн. погр. равна 0,0001%

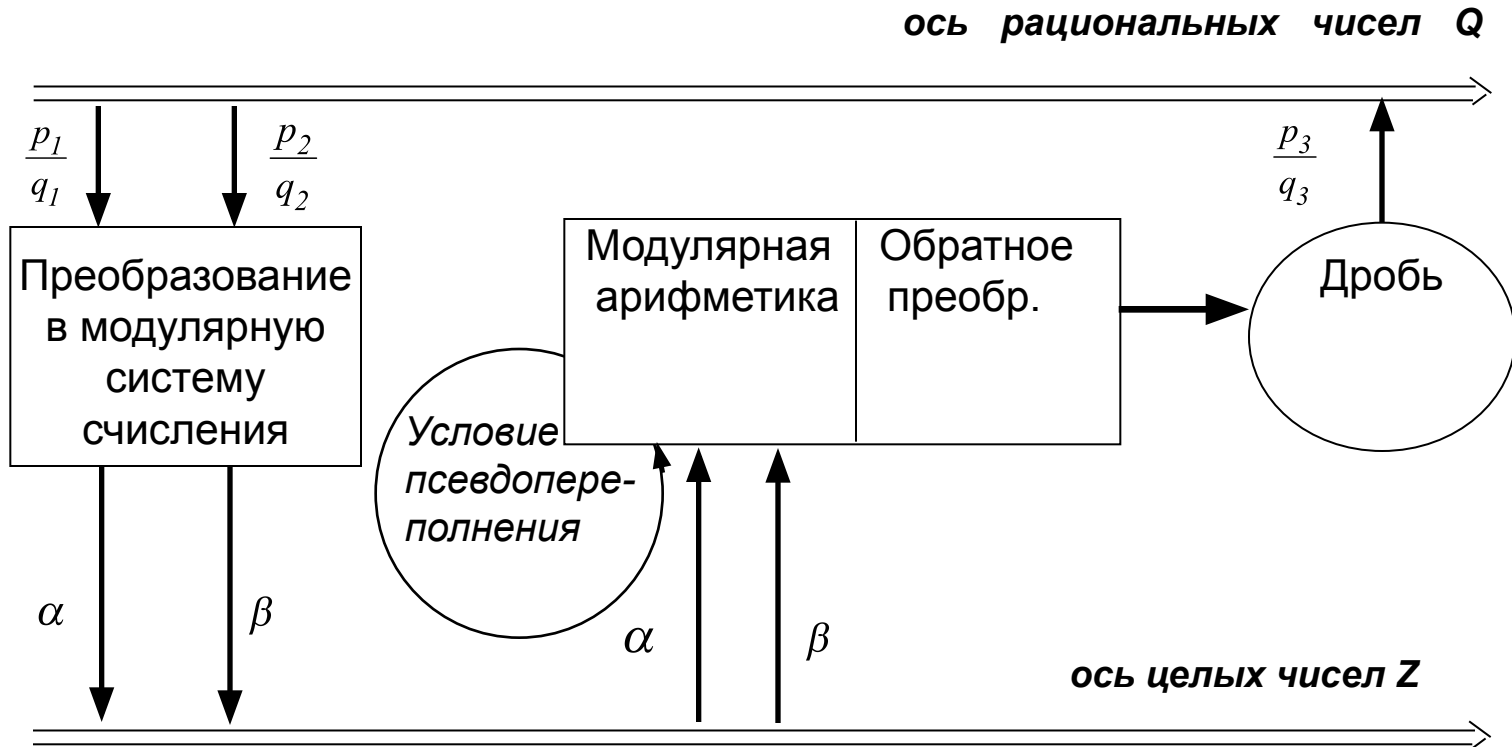
Оценка эффективности высокоточных вычислений на примере нахождения скалярного произведения



$$Eff = \frac{T_1}{T_2},$$

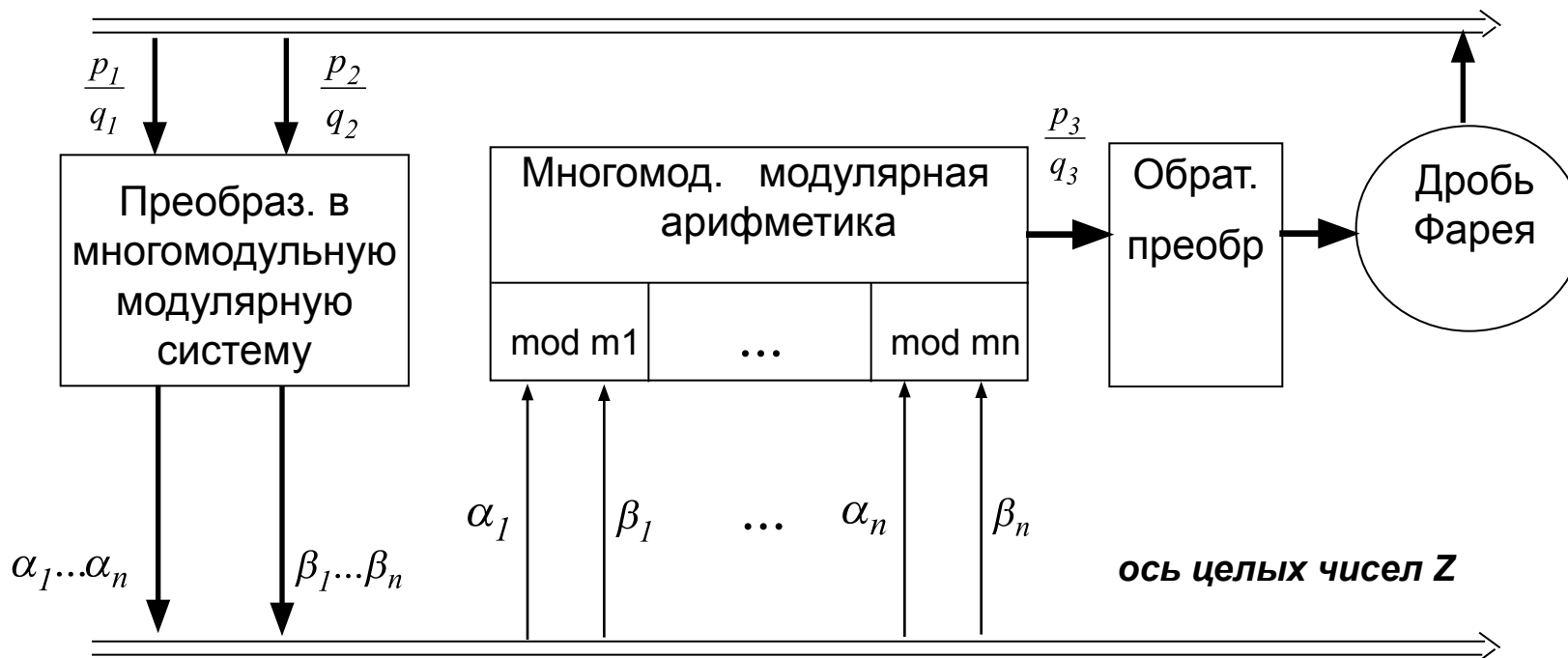
T_1 - время вычислений с использованием библиотеки MPArith,
 T_2 - время вычислений в модулярной арифметике при той же точности.

МОДЕЛЬ ВЫЧИСЛЕНИЙ В МОДУЛЯРНОЙ АРИФМЕТИКИ



МОДЕЛЬ ВЫЧИСЛЕНИЙ С ИСКЛЮЧЕНИЕМ ОШИБОК ОКРУГЛЕНИЯ НА ОСНОВЕ МНОГОМОДУЛЬНОЙ МОДУЛЯРНОЙ АРИФМЕТИКИ

ось рациональных чисел \mathbb{Q}



Порядок дробей Фарей

$$N = \left\lceil \sqrt{\frac{m_1 \cdot m_2 \cdot \dots \cdot m_n - 1}{2}} \right\rceil$$

ИСХОДНЫЕ ПРИНЦИПЫ РЕАЛИЗАЦИИ МОДЕЛИ

Поле p -адических чисел определяется как пополнение множества рациональных чисел по p -адической метрике, которая является неархимедовой и для нее выполняется неравенство «равнобедренного треугольника»

Любое рациональное число α имеет единственное p -адическое разложение:

$$\alpha = \sum_{j=n}^{\infty} a_j p^j, \text{ где } a_j \in \{0, 1, \dots, p-1\}, \|\alpha\|_p = p^{-n}$$

Код Гензеля $H(p, r, \alpha)$ - отрезок длины r бесконечного p -адического разложения числа α .

Теорема

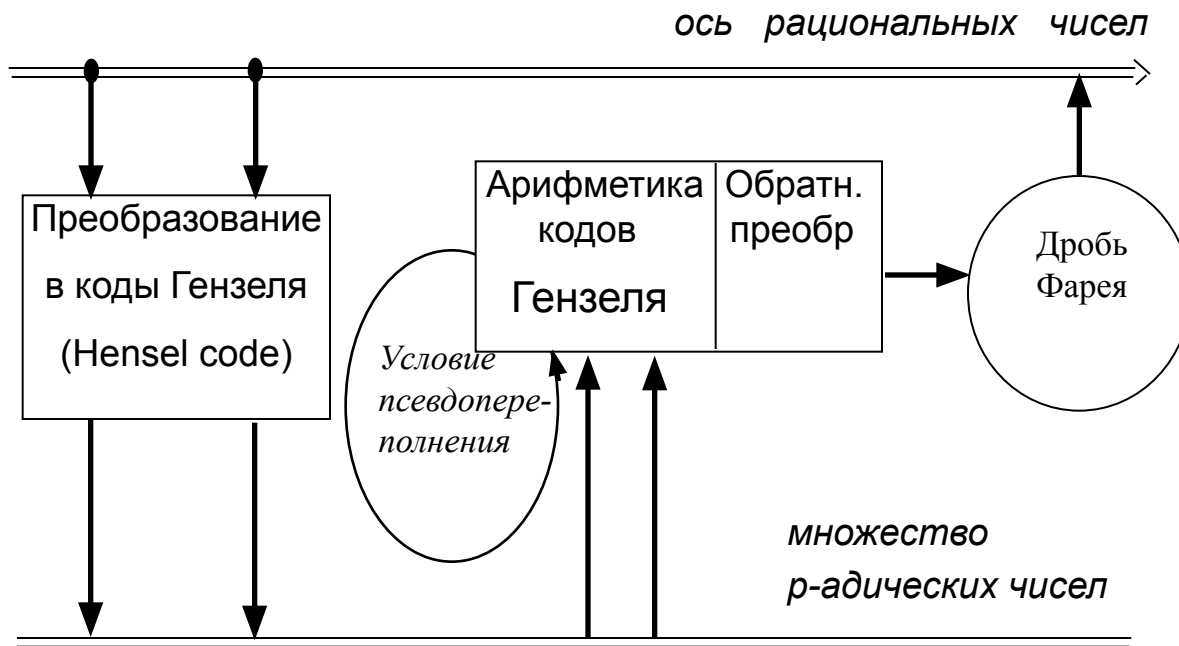
$$\text{Пусть } \alpha = \frac{a}{b} = \frac{c}{d} \cdot p^n, (c, d) = (c, p) = (d, p) = 1.$$

$$\text{Обозначим } H(p, r, c/d) = .a_0 a_1 \dots a_{r-1},$$

$$(c \cdot d^{-1}) \bmod m = a_0 + a_1 p + a_2 p^2 + \dots + a_{r-1} p^{r-1} \quad \text{тогда}$$

где $m = p^r$

МОДЕЛЬ ВЫЧИСЛЕНИЙ С ИСКЛЮЧЕНИЕМ ОШИБОК ОКРУГЛЕНИЯ НА ОСНОВЕ ОДНОМОДУЛЬНЫХ КОДОВ ГЕНЗЕЛЯ



Код Гензеля - конечно-разрядное p -адическое число $H(p, r, \alpha)$, для которого выполняется неравенство:

$2 \cdot N^2 + 1 \leq p^r$, где N - порядок дроби Фарей, p - простое число, r - количество цифр в коде, α - дробь.

Операции сложения, вычитания, умножения и деления выполняются "слева направо".

Цифры кода Гензеля в обратном порядке образуют p -ичное представление дроби по модулю p^r .

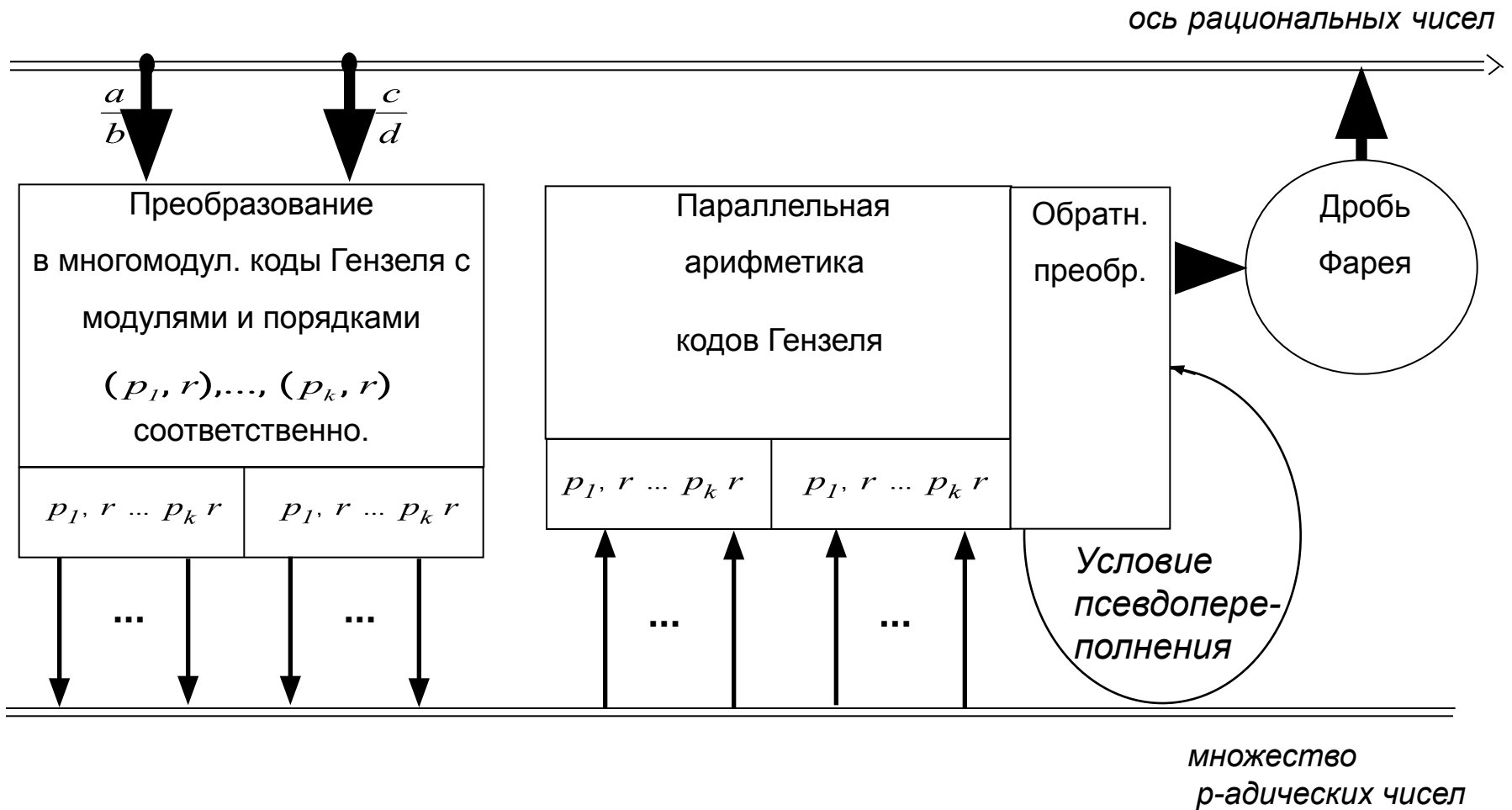
Пример. Найдем сумму $\frac{2}{3} + \frac{1}{4}$ в кодах Гензеля с $p = 5, r = 4$.

$$\left| \frac{2}{3} \right|_{5^4} = \left| 2 \cdot 3^{-1} \right|_{625} = 209, [209]_{10} = [1314]_5, H(5, 4, 2 / 3) = .4131$$

$$\left| \frac{1}{4} \right|_{5^4} = 469, [469]_{10} = [3334]_5, H(5, 4, 1 / 4) = .4333$$

$$H(5, 4, 1 / 4) + H(5, 4, 2 / 3) = .4333 + .4131 = .3020, [203]_5 = [53]_{10}, |11 / 12|_{625} = 53, \text{т.е. } (2/3) + (1/4) = (11/12)$$

МОДЕЛЬ ПАРАЛЛЕЛЬНЫХ ВЫЧИСЛЕНИЙ С ИСКЛЮЧЕНИЕМ ОШИБОК ОКРУГЛЕНИЯ НА ОСНОВЕ МНОГОМОДУЛЬНЫХ КОДОВ ГЕНЗЕЛЯ



ПРИМЕР ВЫЧИСЛЕНИЙ С ИСКЛЮЧЕНИЕМ ОШИБОК ОКРУГЛЕНИЯ В МНОГОМОДУЛЬНОЙ СИСТЕМЕ ГЕНЗЕЛЯ

Найти сумму $\frac{1}{2} + \frac{1}{3}$

Выберем модули $p_1 = 5, p_2 = 7$, порядок $r = 2$

Определим сумму дробей в кодах Гензеля по каждому модулю.

$$H(5,2,1/2) + H(5,2,1/3) = .01, (10)_{p_1} = (5)_{10}$$

$$H(7,2,1/2) + H(7,2,1/3) = .21, (12)_{p_2} = (9)_{10}$$

Суммы могут вычисляться параллельно.

Применим Китайскую теорему об остатках для перевода числа:

(5,9)
из модулярной системы по модулям (25,49) в позиционную

счисления. Вычислим ортогональные базисы по формулам:

$$B_i = \vartheta_i \frac{M}{m_i}, \text{ где } \vartheta_i = \left| \frac{M}{m_i} \right|_{m_i}^{-1}$$

$$B_1 = 1176, B_2 = 50$$

$$A = |5 \cdot B_1 + 9 \cdot B_2|_M = 205, 205 = \left| \frac{5}{6} \right|_M$$

Сложность арифметических операций в кодах Гензеля в двоичной системе счисления:

$$\begin{aligned} +, - &: O_B(r \log_2 p) \\ *, / &: O_B(r^2 \log_2 p) \end{aligned}$$

Коды Гензеля могут применяться:

Для реализации вычислений с полиномами (полиномиальная арифметика)

Для реализации вычислений с плавающей точкой без ошибок округления.

ОЦЕНКА ЭФФЕКТИВНОСТИ ВЫЧИСЛЕНИЙ С ИСКЛЮЧЕНИЕМ ОШИБОК ОКРУГЛЕНИЯ, РЕАЛИЗОВАННЫХ В MAPLE

Эффективность исследовалась на примере решения системы линейных уравнений с рациональными коэффициентами размерностью 20

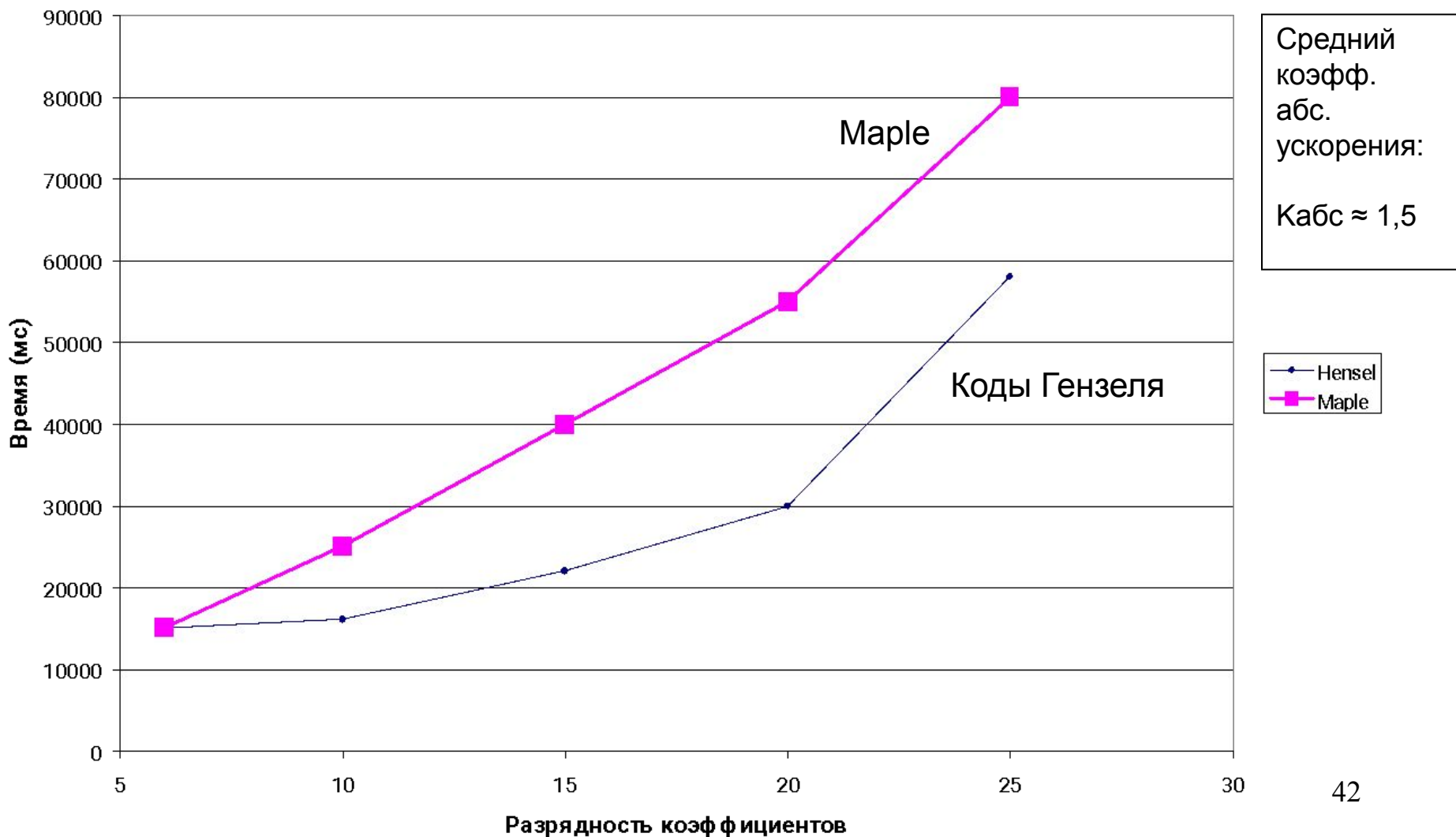
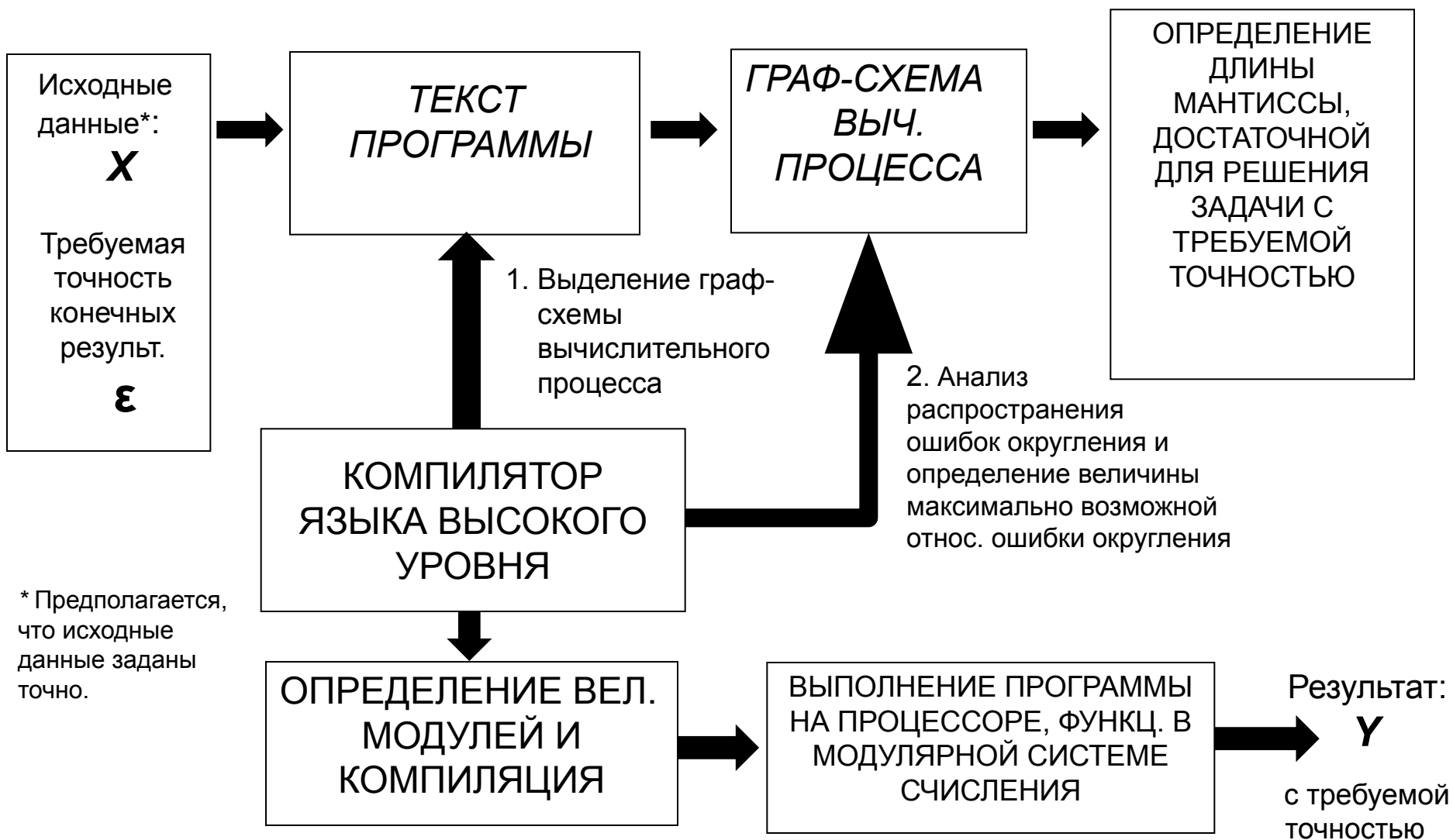


СХЕМА ОРГАНИЗАЦИИ ВЫЧИСЛЕНИЙ С ЗАДАННОЙ ТОЧНОСТЬЮ



ФОРМУЛЫ ОТНОСИТЕЛЬНЫХ ОШИБОК ОКРУГЛЕНИЯ

Пусть имеются два приближения \bar{x}, \bar{y} к двум величинам x, y и e_x, e_y - соответствующие абсолютные ошибки.

Пусть t - количество значащих цифр в любом действительном числе, тогда при использовании правила отбрасывания максимальная относительная ошибка округления выразится так:

$$\left| \frac{e_y}{y} \right| = 10^{-t+1}$$

При симметричном округлении максимальная относительная погрешности выразится так:

$$\left| \frac{e_y}{y} \right| \leq \frac{1}{2} \cdot 10^{-t+1}$$

Формулы относительных ошибок при 4-х арифметических операциях имеют вид:

$$\frac{e_{x+y}}{x+y} = \frac{\bar{x}}{x+y} \left(\frac{e_x}{x} \right) + \frac{\bar{y}}{x+y} \left(\frac{e_y}{y} \right) + r \qquad \frac{e_{x-y}}{x-y} = \frac{\bar{x}}{x-y} \left(\frac{e_x}{x} \right) - \frac{\bar{y}}{x-y} \left(\frac{e_y}{y} \right) + r$$

$$\frac{e_{x \cdot y}}{x \cdot y} = \frac{e_x}{x} + \frac{e_y}{y} + r \qquad \frac{e_{x/y}}{x/y} = \frac{e_x}{x} + \frac{e_y}{y} + r$$

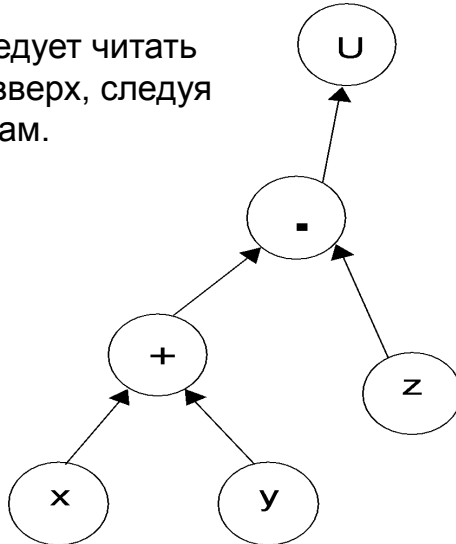
где r - ошибка округления.

ВЫДЕЛЕНИЕ ГРАФ-СХЕМЫ ВЫЧИСЛИТЕЛЬНОГО ПРОЦЕССА

Пусть даны x, y, z и необходимо вычислить $u = (x + y) * z$

Граф вычислительного процесса имеет следующий вид:

Его следует читать снизу вверх, следуя стрелкам.

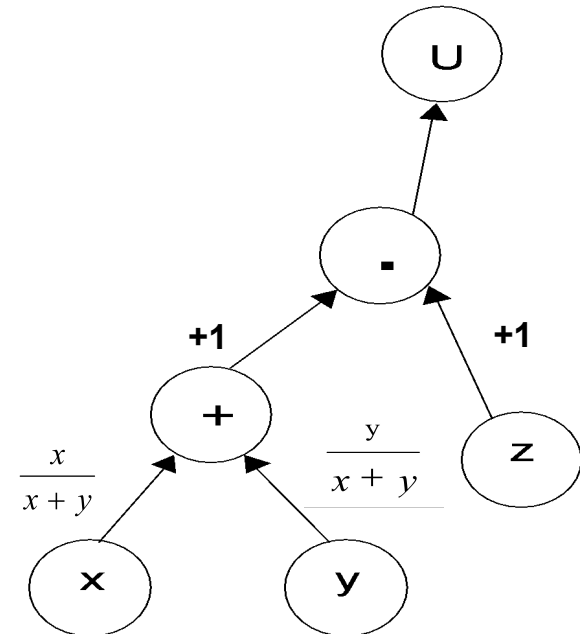


Предположим, что три исходные величины имеют относительные ошибки округления, равные соответственно

$$i_x, i_y, i_z$$

Рассмотрим сложение. Относит. ошибка величины x составляет i_x , эта ошибка войдет в результат следующей операции (сложения) умноженной на коэффициент y стрелки, соединяющей x в кружке со знаком $+$ в кружке:

$$\frac{x}{x + y} i_x$$



АНАЛИЗ РАСПРОСТРАНЕНИЯ ОШИБОК ОКРУГЛЕНИЯ

$$\frac{e_{x+y}}{x+y} = \frac{x}{x+y} i_x + \frac{y}{x+y} i_y + r_1$$

После выполнения операции умножения появляется ошибка r_2 . Полная ошибка результата операции умножения выразится следующим образом:

$$\frac{e_u}{u} = \frac{x}{x+y} i_x \cdot 1 + \frac{y}{x+y} i_y \cdot 1 + r_1 \cdot 1 + i_z \cdot 1 + r_2.$$

Если все результаты соответствующим образом округлены, то ни одна из ошибок округления не превзойдет $5 \cdot 10^{-t}$

Поэтому

$$\left| \frac{e_u}{u} \right| \leq \left(\left| \frac{x}{x+y} \right| + \left| \frac{y}{x+y} \right| + 3 \right) \cdot 5 \cdot 10^{-t} \quad x, y, \text{ оба неотрицательные, то}$$

$$\left| \frac{x}{x+y} \right| + \left| \frac{y}{x+y} \right| \quad \text{Не может быть больше 1, и окончательно имеем:} \quad \left| \frac{e_u}{u} \right| \leq 20 \cdot 10^{-t} = 2 \cdot 10^{-t+1}$$

ВОЗМОЖНЫЕ ПРИЛОЖЕНИЯ ВЫЧИСЛЕНИЙ С ИСКЛЮЧЕНИЕМ ОШИБОК ОКРУГЛЕНИЯ

1. Точное вычисление обобщенных обратных матриц.

Например, таких как, g -обратная матрица Мура-Пенроуза. Многие алгоритмы требуют умения распознавать значение численного ранга, а это является трудной задачей при наличии ошибок округления.

2. Целочисленное решение систем линейных уравнений.

Примером могут служить построение оптимальных решений в задачах целочисленного программирования.

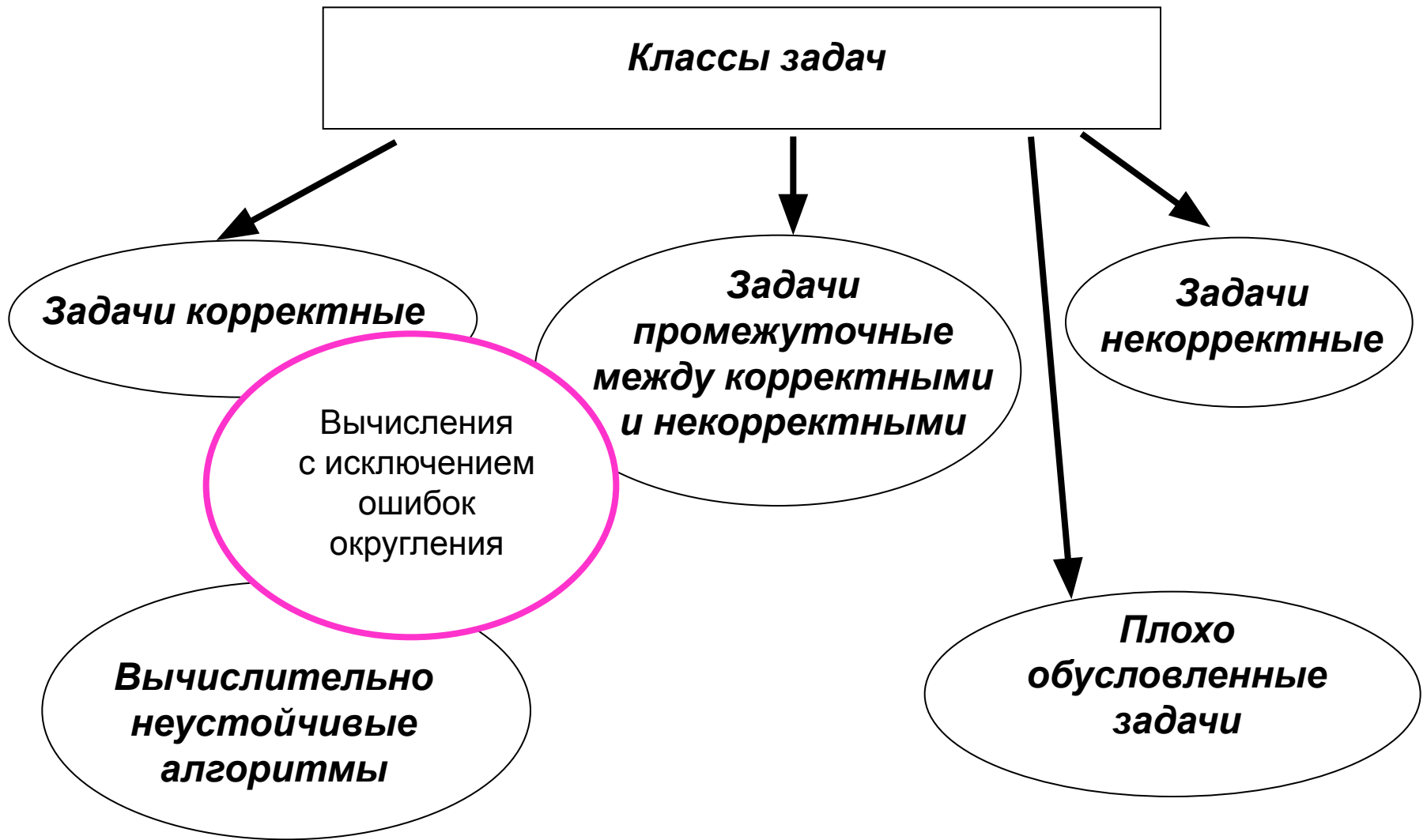
3. Точное вычисление характеристического многочлена матрицы.

Вследствие ошибок округления будут получены приближенные значения коэффициентов. Если многочлен плохо обусловлен, то корни "приближенного" характеристического уравнения могут быть плохими приближениями к корням истинного уравнения.

4. Обращение матриц Гильберта, Адамара и др. особо чувствительных к ошибкам округления.

5. Для решения промежуточных между классами корректных и некорректных задач.

Класс задач, изменяющих корректность при решении. Это расчет устойчивости систем управления, выч. собств. знач. систем лин. одн. урав. и др.



Ф.С. Зайцев

Математическое моделирование эволюции тороидальной плазмы.

Семашко Н.Н Кафедра физики и ядерного синтеза (МЭИ)

Динамическая устойчивость энергосистем

...